

한국부식학회지
Journal of the Corrosion Science Society of Korea
Vol. 14, No. 4., Dec., 1985.

〈研究論文〉

熔融Al中에서 Fe-Cr合金의 溶解現象(Ⅰ)

朴炳玉* · 尹秉河**

*慶北大學校 金屬工學科 大學院
** : 慶北大學校 工科大學 金屬工學科 教授

Dissolution of Fe-Cr Alloys in Molten Al(Ⅰ)

B. O. Park*, B. H. Yoon**

*Dept. of Metallurgical Engineering,
Kyungpook National Univ. Graduate Student.

**Dept. of Metallurgical Engineering,
Kyungpook National Univ. Professor.

ABSTRACT

The corrosion rate of Fe-Cr alloys in molten Aluminum was measured at 680–800°C. The results obtained were as follows:

- 1) The corrosion rate (V , cm/sec) of Fe-Cr alloy in molten Aluminum was

$$\text{Fe-1Cr; } \ln V = -2.9 - 9545/T$$

$$\text{Fe-3Cr; } \ln V = -2.4 - 10229/T$$

$$\text{Fe-5Cr; } \ln V = -2.1 - 10702/T$$

$$\text{Fe-7Cr; } \ln V = -1.6 - 11230/T$$

$$\text{Fe-9Cr; } \ln V = -1.2 - 11731/T$$

- 2) Values of activation energy for corrosion are equal 20–24 Kcal/mol, respectively. The controlling step of Fe-Cr alloys at corrosion in molten Aluminum is the diffusion of Fe atom in the diffusion layer.

1. 序論

최근 輕量材料의 수요증대로 인하여 Al合金의 溶解 및 鑄造, 低壓鑄造 및 金型鑄造, 熔融Al鍍金 등의 生產工程에서 Fe合金의 機資材가 대부분 사용되고 있다.

이 때, 熔融Al과 Fe合金의 機資材가 접촉되는

부분에서는 Al에 의한 機資材의 液體金屬腐蝕 (Liquid Metal Corrosion)¹⁾이 일어나서 機資材의 수명이 단축되며, 또한, 熔融Al中에는 Fe成分의 증가로 製品의 質이 저하된다.

따라서, 熔融Al에 대한 Fe合金材料의 耐蝕性 개선이 절실히 요구되고 있으며, 熔融Al中에서 Fe

合金의 腐蝕에 관한 反応機構를 규명할 필요성이 있다.

현재까지 熔融 Al 中에서 Fe合金의 腐蝕에 관한 基礎研究는 新家²⁾, Darby³⁾ 및 落輪⁴⁾ 등의 보고가 있으나 주로 流動浴에 관한 것이 대부분이고, 특히, 靜止浴에서 固体 Fe 中의 添加元素의 形態에 관한研究는 아직 보고되지 않고 있다.

한편, 熔融 Al 中에서 Fe의 溶解 및 扩散速度는 Cr의 경우보다 빠르기 때문에^{3), 5)} 母材Fe에 Cr을 添加하므로서, 熔融 Al 中에서 Fe合金의 腐蝕을 경감시킬 수 있으리라 생각된다.

本実驗은 組成이 각각 다른 Fe-Cr合金을 製造하여 熔融 Al 的 靜止浴에 浸漬한 후 Fe-Cr合金의 腐蝕現象을 速度論적으로 규명한다.

2. 實驗方法

本実驗에 사용한 Fe-Cr合金은 99.99%의 電解Fe와 99.99%의 電解Cr을 사용하여 Cr含量 1, 3, 5, 7 및 9 Wt%의 組成으로 각각 배합하여 高周波誘導炉(35KVA, 3600Hz)에서 真空溶解한 후 直径 50mmφ, 길이 150mm의 黑鉛鑄型에 鑄入해서 Ingot로 만들었다.

이 Ingot를 機械加工하여 直径 10mmφ, 길이 15mm의 円柱型試片으로 만든 후, 殼力제거 및 組織의 均質化를 위해 1000°C에서 3時間 真空熱處理하였다.

이들 試片의 化學組成을 原子吸光分析器(Perkin Elmer 5000)를 사용하여 分析한 結果는 Table 1과 같으며, 또한 밀도는 Table 2와 같다.

Table 1. Chemical Composition of Fe-Cr Alloys
(wt %)

comp. alloy	C	Si	Mn	P	S	Cr
Fe-1%Cr	0.0051	0.019	0.0003	0.002	0.0021	0.89
Fe-3%Cr	0.0086	0.042	0.0090	0.001	0.0020	3.05
Fe-5%Cr	0.0072	0.037	0.0240	0.001	0.0021	5.34
Fe-7%Cr	0.0093	0.084	0.0360	0.001	0.0025	7.40
Fe-9%Cr	0.0117	0.112	0.0460	0.005	0.0023	9.18

Table 2. Density of Fe-Cr Alloys.

specimens	Fe-1Cr	Fe-3Cr	Fe-5Cr	Fe-7Cr	Fe-9Cr
ρ_s (g/cm ³)	7.79	7.77	7.75	7.73	7.71

Al은 99.9%의 工業用純Al을 사용하였으며, 1回 浸漬시 Al의 溶解量은 300g이었다.

Al의 溶解用 도가니는 外徑 85mmφ, 內徑 68mmφ, 높이 150mm의 高純度 Magnesia 도가니를 사용하였다.

浸漬實驗은 Fe-Cr合金의 試片을 Aceton에 脱脂한 후 680, 700, 750 및 800°C의 熔融 Al에 浸漬하여, 0.5, 1, 2, 3 및 4時間 각각 유지한 후 試片을 꺼내어 空冷하였다.

浸漬試片의 組織觀察은 試片의 단면을 연마하여 3% Nital 및 3% HF水溶液으로 2重腐蝕하여 走査電子顯微鏡으로 하였으며, 金屬間化合物層의 두께는 金屬顯微鏡을 사용하여同一試片에 대해 20個所를 測定하여 平均值을 구하였다.

또한, 金屬間化合物은 Electron Probe Micro Analysis(Type: HSM-28, Model: HM-XAD)로 線分析하여 組成을 조사하였다.

한편, 浸漬후 試片의 重量變化測定은 浸漬試片의 양쪽 단면을 800번 연마하고, 물 100cc중에 NaOH 40g 및 NaNO₃ 20g을 溶解하여 加熱한 水溶液에 약 2時間 浸漬하여 부착 Al 및 金屬間化合物層을 완전히 제거하였다.

이 試片의 重量을 测定하여 平均半径을 구하였다.

3. 結果 및 考察

3.1 組織觀察 및 金屬間化合物層의 成長

Photo. 1은 750°C에서 2시간 동안 熔融 Al浴에 浸漬한 Fe-Cr合金의 顯微鏡組織을 나타내었다.

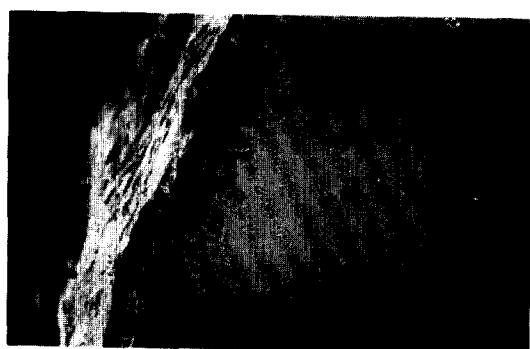
Fe-Cr合金을 熔融 Al浴에 浸漬하였을 때 形成되는 金屬間化合物의 形狀은 舌狀이며, Cr含量이 증가하면 金屬間化合物層의 두께도 얇아진다.

이와같은 現象은 Fe가 熔融 Al中으로 扩散됨에 의해 母材Fe에 空孔이 생겨서 이 空孔中으로 Al이 扩散되어 Fe와 Al간에 舌狀의 金屬間化合物가 形成된다.

이때 母材중에 Cr含量이 많으면, Cr이 Fe보다 熔融 Al中으로 溶解 및 扩散速度가 늦기 때문에 母材중에는 空孔의 形成数가 적어서 空孔내로 Al의 扩散量이 적어지므로 金屬間化合物의 成長이 억제



a) Fe-1%Cr



b) Fe-7%Cr

Photo 1. Microstructure of the intermetallic compound of Fe-Cr alloys dipped in molten Al for 2hr at 750°C. (x50).

된다.

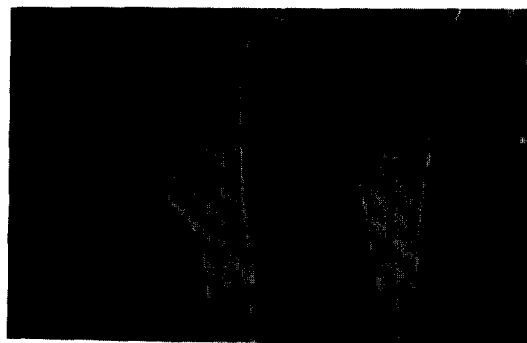
그리고 Al 측에서는 Cr의量이 증가하면, Cr은 Al의活動度를 저하시키기 때문에 Al이母材Fe중으로拡散시物質移動에 대한 저항이 생겨서金属間化合物層의 두께가 얕아진다.

Photo. 2는 金属間化合物과母材Fe와의 경계부를 나타낸 것이다.

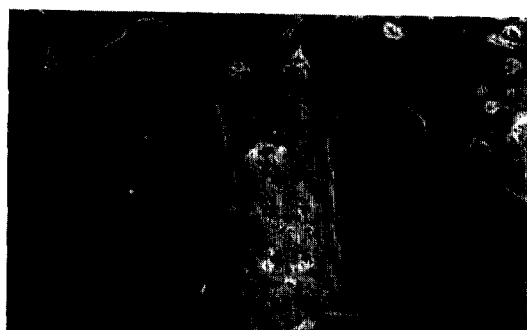
舌狀組織인 Fe-Al 金属間化合物과母材Fe와의 사이에는 매우 푹이 좁은 α 固溶体가 존재하고 있음을 알 수 있다.

Fig. 1은 成長한 金属間化合物의組成을 조사하기 위하여 Fe-3Cr合金을熔融Al浴中에 750°C, 2時間浸漬時 金属間化合物層중의 Fe, Al 및 Cr의濃度變化를 E.P.M.A.로 分析한結果이다.

여기에 의하면 金属間化合物 中心部의 Fe의濃



a) Fe-1%Cr



b) Fe-7%Cr

Photo 2. Scanning electron micrographs of the intermetallic compound of Fe-Cr alloys dipped in molten Al for 2hr at 750°C. (x750).

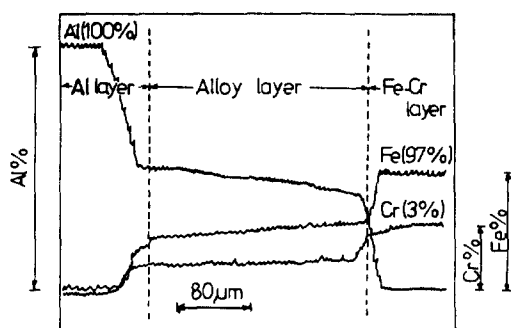


Fig. 1. Change in intensity of Fe-20, Al-20 and Cr-5Ka lines, crossing from the Al layer to the base alloy of Fe-3%Cr dipped in molten Al for 2hr at 750°C.

度는 약 52%, Al은 약 47%이고 少量의 Cr이 固溶되어 있으며, 또한 金屬間化合物層의 두께는 약 240 μm 정도이다.

따라서 金属間化合物의組成을 Fe-Al系 狀態圖⁶와 비교하여 보면 $Fe_2Al_5(\eta)$ 相으로 존재함을 알 수 있다.

다음으로 金屬間化合物의 成長에 대하여 조사해 보기로 한다.

Fig. 2 는 Fe-3Cr 합금을 熔融Al에 浸漬했을 때, 浸漬시간과 温度에 따른 金屬間化合物層의 두께變化를 나타낸 것이다.

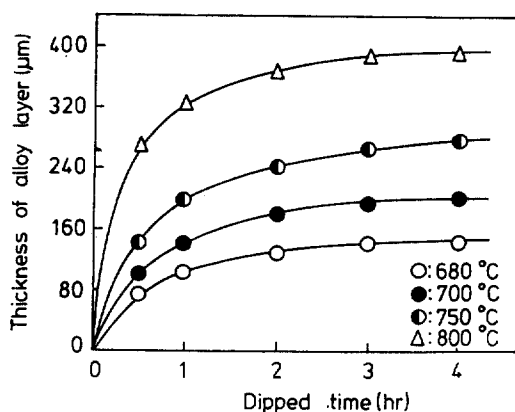
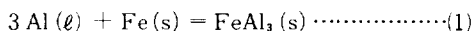


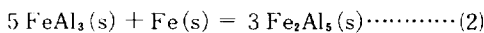
Fig. 2. Relation between thickness of alloy layer and dipped time. (Fe-3% Cr).

浸漬初期에는 金屬間化合物의 成長이 매우 빠르나 浸漬時間이 3時間 이상으로 길어지면 더이상의 成長은 일어나지 않고 거의 일정한 두께를 유지한다.

浸漬初期에는 Fe-Cr合金과 熔融 Al과의 界面에서 Fe와 Al間의 相互拡散이 일어나므로 Al측은 Fe의 濃度가 높게 되어 $FeAl_3(\rho)$ 相이生成된다.



浸漬時間が長くなると FeAl₃相は母材との界面で Fe と反応して Fe₂Al₅(η)相が生成される。



이때 Cr은 金属間化合物에 固溶된다. 生成된

Fe_2Al_5 相의 結晶組織은 母材의 組織과는 전혀 다르므로, Fe_2Al_5 의 拡散異方性⁷⁾ 때문에 매우 빠른 速度로 C軸方向으로 成長하며, 成長方向은 表面에서 直角인 方位로 우선 成長이 일어나서 Fe_2Al_5 의 舌狀組織이 발달하게 된다.

그런데 Fe_2Al_5 의 成長速度가 熔融 Al 중으로 Fe의 拡散速度와 거의 같아지면 金屬間化合物層의 두 계는 일정하게 유지된다.

3 · 2 腐蝕速度

Fe-Cr合金의 試片을 熔融Al중에 浸漬한후 인출하여 空冷시킨 다음, 試片의 表面에 付着된 Al과 金屬間化合物層을 완전히 除去시켰다.

이들 試片의 重量을 測定한 후, 다음식에 의해서
平均半徑을 구하였다.

여기서

r : 試片의 平均半徑 (cm)

G : 試片의 重量(g)

h : 浸漬길이 (cm)

ρ_s : 試片의 密度 (g/cm^3)

Fig. 3 은 Fe- 3 Cr 합금의 平均半径을 浸漬溫度와 時間에 따라 나타내 것이다

浸漬初期에는 평균半徑의 감소速度가 매우 빠르나, 浸漬時間이 1時間 이후의 長時間에서는 平均半徑의 감소速度가 일정한 直線의 경향을 나타내고 있다. 이와같은 現象은, 反応初期에는 金屬間化合物의 成長이 빠르나 反応이 長時間 계속되면 金屬間化合物層의 두께가 일정하게 되기 때문이다.

즉, (3) 식은 **金属間化合物**을 완전히 제거한 **平均半径**이 구해지므로 **反応初期**에는 **Fe-Cr合金의 平半径**감소가 **金属間化合物**의 두께에 좌우되기 때문이며, **反応이 長時間 계속되면** **金属間化合物**의 두께는 거의 일정하게 되므로 **Fe-Cr合金의 腐蝕現象**은 **金属間化合物**의 成長보다는 **Fe-Cr合金의 溶解反応**이 지배적이기 때문이다.

그런데 Fe-Cr合金에 付着된 Al을 제거할때金屬間化合物中의 Fe도 완전히 제거되므로, 溶解Al 중에서 Fe-Cr合金의 腐蝕速度를 구하기 위해 시는

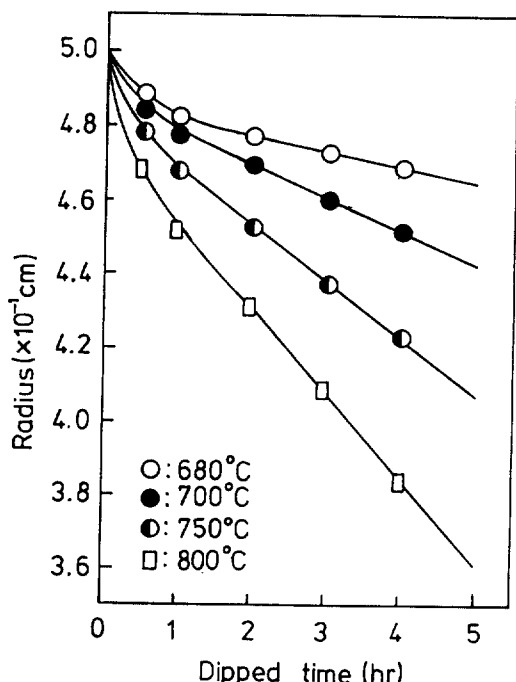


Fig. 3. Relation between radius and dipped time. (Fe-3% Cr).

金属間化合物層의 Fe量을 補正해야 한다.

$$r_1 = [r^2 + \{(r + \delta)^2 - r^2\} \cdot \rho_A \cdot \%x_A / 100 \cdot \rho_S]^{1/2} \dots (4)$$

여기서,

r_1 : 補正半径 (cm)

r : 平均半径 (cm)

δ : 金属間化合物層의 두께 (cm)

ρ_A : 金属間化合物層의 密度 (g/cm³)

% x_A : 金属間化合物層중의 Fe의 Wt%

補正半径을 구하기 위해서는 먼저 金属間化合物中の Fe量과 密度를 알아야 한다.

이것은 앞에서 확인된 바와 같이 Fe-Cr合金에 形成되는 金属間化合物은 Fe_2Al_5 相이기 때문에 Fe의 濃度는 平均 46Wt%이며, Fe_2Al_5 相의 密度는 3.85 (g/cm³)이다.

따라서 Fe-Cr合金의 補正半径은 金属間化合物의 두께와 平均半径을 이용하여 (4)식에 의해 구할 수 있다.

Fig. 4는 Fe-3Cr合金의 補正半径을 浸漬温度와 時間에 대해 나타낸 것이다.

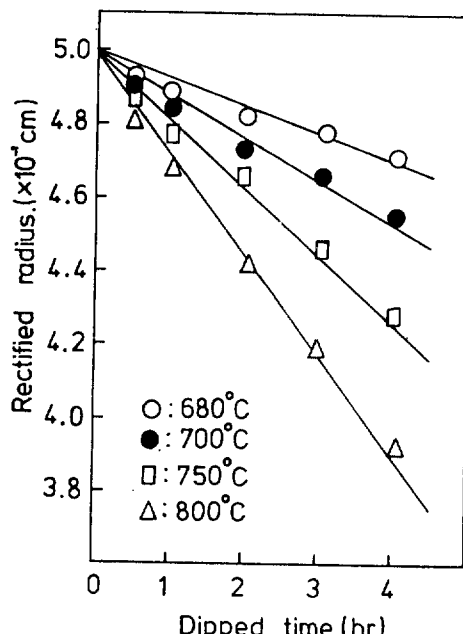


Fig. 4. Relation between rectified radius and dipped time. (Fe-3% Cr).

補正半径은 時間에 따라 直線的으로 감소하므로, 각각의 温度에서 補正半径의 감소速度, 即, 腐蝕速度, $V (= -dr_1/dt)$ 를 구할 수 있다.

Table 3은 Fe-Cr合金의 腐蝕速度를 나타내었다.

Table 3. The rate of corrosion of Fe-Cr alloys in molten Al.

Temp(°C) Alloys	$-(dr_1/dt) \times 10^6$ (cm/sec)			
	680	700	750	800
Fe-1%Cr	2.48	3.24	4.95	7.82
Fe-3%Cr	2.04	2.53	4.27	6.77
Fe-5%Cr	1.54	2.41	3.79	5.73
Fe-7%Cr	1.54	1.96	3.47	5.75
Fe-9%Cr	1.42	1.81	3.30	5.60

한편, 固体金属의 腐蝕이 融体金属중에서의 物質移動이 律速인 경우는 근사적으로 다음식과 같다.⁸⁾

$$V \doteq J / \rho_s = K \cdot (C_{ls} - C_b) / \rho_s = D(C_{ls} - C_b) / \delta \cdot \rho_s \cdots (5)$$

여기서,

- J : 融体金属中에서 溶質의 flux
- ρ_s : 固体의 密度 (g/cm^3)
- K : 物質移動 係數 (cm/sec)
- C_{ls} : 固体溶質의 鮑和濃度
- C_b : 融体中 固体溶質의 濃度
- D : 扩散係數 (cm^2/sec)
- δ : 扩散層의 두께 (cm)

그런데 扩散層의 두께는 熔融Al과 固体 Fe의 反応時 $5 \times 10^{-2} \text{ cm}$ 이고, 800°C에서 熔融Al中 Fe의 扩散係數는 $2.2 \times 10^{-5} \text{ cm}^2/\text{sec}$ ⁹⁾이다.

따라서 800°C에서 Fe가 熔融Al中으로 腐蝕되는 速度를 (5)식에 의해 계산하면 약 $8.6 \times 10^{-6} \text{ cm/sec}$ 이다.

이 理論的인 腐蝕速度를 Table 3의 800°C에서의 腐蝕速度와 비교해 보면 試片중의 Cr含量이 증가함에 따라 약간씩 腐蝕速度가 저하되지만, Cr이 Fe보다 熔融Al中으로 溶解 및 扩散速度가 늦음을 고려하면, 本実驗에서 구한 腐蝕速度와 理論的인 腐蝕速度는 비교적 잘 일치하고 있다.

이와 같은 사실은 熔融Al中으로 Fe-Cr合金의 腐蝕은 融体中 Fe의 扩散이 律速단계임을 시사해 준다.

다음으로 熔融Al中에서 Fe-Cr合金의 腐蝕에 관한 温度의 영향을 조사함으로서 腐蝕에 관한 活性化 Energy를 구할 수 있다.

一般的으로, 液体金属腐蝕시 腐蝕速度와 温度와의 관계는 Arrhenius식이 성립한다.

$$\ln V = \ln A - E_v / RT \cdots \cdots \cdots (6)$$

여기서,

- A : 常数인자
- E_v : 腐蝕에 관한 活性化 Energy

Fig. 5는 Table 3에서 나타낸 腐蝕速度를 대수로 취한 $\ln V$ 와 絶對溫度의 逆數 $1/T$ 와의 관계를 나타낸 것이다.

각각의 Fe-Cr合金은 腐蝕速度와 絶對溫度의 逆數 사이에는 直線의 관계가 이루어진다.

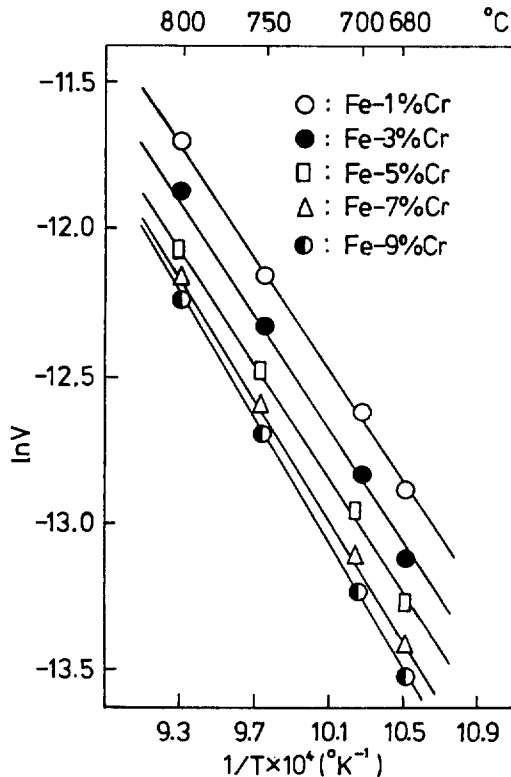


Fig. 5. Relation between $\ln V$ ($= -dr_1/dt$) and $1/T$.

다음은 Fig. 5에서 구한 直線의 식을 나타내었다.

$$\text{Fe-1Cr : } \ln V = -2.9 - 9545/T$$

$$\text{Fe-3Cr : } \ln V = -2.4 - 10229/T$$

$$\text{Fe-5Cr : } \ln V = -2.1 - 10702/T$$

$$\text{Fe-7Cr : } \ln V = -1.6 - 11230/T$$

$$\text{Fe-9Cr : } \ln V = -1.2 - 11731/T$$

이 直線의 기울기와 (6)식을 비교하면 腐蝕에 관한 活性化 Energy는 대략 20~24Kcal/mole 정도이고, 또한 試片中 Cr含量이 2% 정도 증가함에 따라 活性化 Energy는 약 1Kcal/mole 정도 증가한다.

3 · 3 律速단계의 검토

一般的으로 固体 Fe가 熔液Al中에서 腐蝕되는 단계적인 素過程을 간단히 열거하면 다음과 같다.

또한 腐蝕에 관한 活性化 Energy는 20~24Kcal /mole 이었으며, 이를 痘들을 考察한 結果 Fe-Cr合金의 腐蝕에 관한 律速단계는 熔融Al 중에서 Fe와 Cr의 扩散이 律速이었다.

参考文献

1. M. G. Fontana and N. D. Greene, "Corrosion Engineering" 289, McGraw-Hill Book Company, (1967).
2. 新家, 鈴木, 上田, 日本金属学会誌, 45, 416 (1981).
3. J. B. Darby, D. B. Jugel and O. J. Kleppa, Trans. AIME 227, 179(1963).
4. 萩輪, 小坂, 鉄と鋼, 50, 56(1964).
5. Ershov, G. S. Russ Met. (UDC 669, 715, 782:539, 219, 3), 62(1977).
6. J. N. Partt and G. V. Raynor, J. Inst Met. 80, 449(1951~52).
7. T. Heumann und S. Dittrich, Z. Metallik, 50, 617(1959).
8. 小坂, 萩輪, 鉄と鋼, 52, 1748(1966).
9. 小坂, 萩輪, 鉄と鋼, 50, 1424(1964).
10. W. B. Alexander and L. M. Slifkin, Physical Review, 1, 3274(1970).
11. K. Tanaka and K. Sahashi; Trans. JIM, 12, 130(1971).
12. R. A. Swalin, "Thermodynamic of Solid" 205, Wiley Inter-Science Publication, (1972)